

Рис. 3.2. Будова поверхневих комплексів цинку, локалізованих на сильних сорбційних центрах мінералів типу 2 : 1 [111]

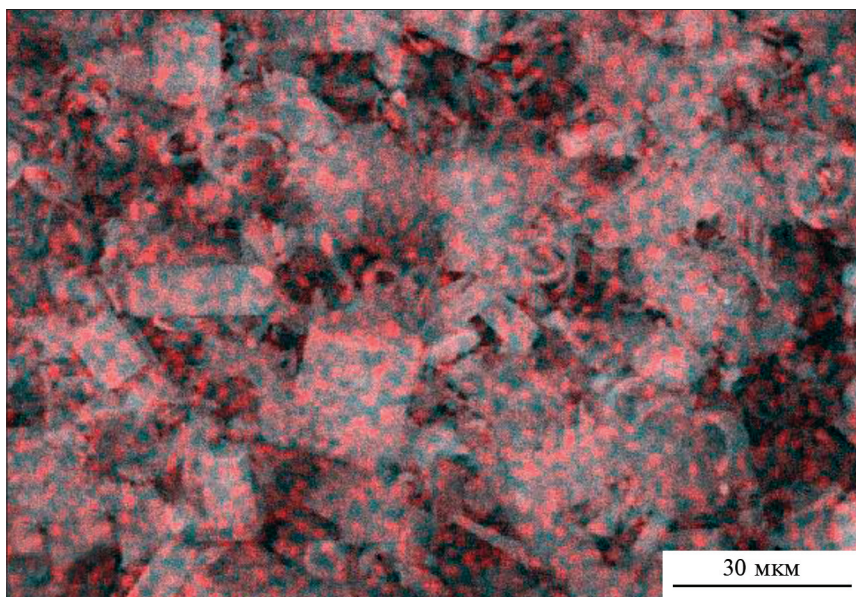


Рис. 4.2. Мікрофото ГДТМА-діатоміту (SEM, детектор Xflash 4010 Bruker AXS)

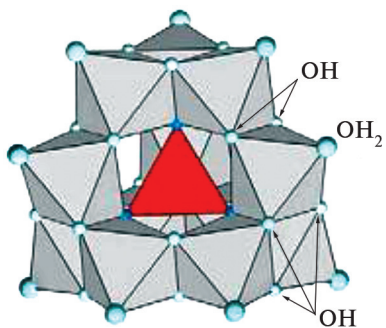


Рис. 5.2. Будова полігідроксо-
комплексу алюмінію
 $[Al_{13}O_{14}(OH)_{24}(H_2O)_{12}]^{7+}$

Рис. 7.5. Спорудження
проникного реакційного
бар'єра, м. Жовті Води

